

Klassische Theoretische Physik III (Elektrodynamik)

Vorlesung: Prof. Dr. D. Zeppenfeld – Übung: Dr. M. Sekulla

Übungsblatt 9

Ausgabe: Fr, 22.12.17 – Abgabe: Fr, 12.01.17 – Besprechung: Mi, 17.01.18

Aufgabe 26: Unendlich langer stromdurchflossener Draht

5 P

Betrachten Sie einen homogenen, unendlich langen Draht mit Radius R und konstanter Leitfähigkeit κ . Das Ohm'sche Gesetz besagt, dass die Stromdichte durch $\vec{J} = \kappa \vec{E}$ gegeben ist. Im Draht befindet sich ein konstantes, zeitunabhängiges elektrisches Feld \vec{E} parallel zur Richtung des Drahtes.

Berechnen Sie den Poynting-Vektor \vec{S} für dieses System auf unterschiedliche Weisen:

- (a) mit Hilfe des Erhaltungssatzes in differentieller (lokaler) Form:

$$\frac{\partial u}{\partial t} + \nabla \cdot \vec{S} = -\vec{J} \cdot \vec{E},$$

wobei u die Energiedichte des elektromagnetischen Feldes ist.

- (b) mit der Formel

$$\vec{S} = \vec{E} \times \vec{H}.$$

Es ist hilfreich sich vorher die Richtung des Poynting-Vektors zu überlegen.

Lösung der Aufgabe 26

- (a) Der Strom kann durch die Funktion (in Zylinderkoordinaten ρ, φ, z)

$$\vec{J}(\vec{r}) = \kappa \vec{E} \Theta(R - \rho) = \kappa E \Theta(R - \rho) \hat{z}$$

beschrieben werden. u ist zeitunabhängig (statisches Feld).

$$\Rightarrow \nabla \cdot \vec{S} = -\vec{J} \cdot \vec{E} \Theta(R - \rho) = -\kappa E^2 \Theta(R - \rho)$$

Da \vec{J} und \vec{E} parallel zur z -Achse sind, ist \vec{H} parallel zu $\hat{\varphi}$. Damit zeigt \vec{S} in $\hat{z} \times \hat{\varphi} = -\hat{\rho}$ -Richtung. Mit

$$\begin{aligned} \vec{S} &= -S(\rho) \hat{\rho} \\ \nabla \cdot \vec{S} &= -\frac{1}{\rho} \frac{\partial}{\partial \rho} (\rho S) \end{aligned}$$

gilt

$$\frac{1}{\rho} \frac{\partial}{\partial \rho}(\rho S) = \kappa E^2 \Theta(R - \rho)$$

Damit gilt :

$$\rho S = \begin{cases} \frac{\kappa E^2}{2} \rho^2 + C_1 & \text{für } \rho \leq R \\ C_2 & \text{für } \rho > R \end{cases}$$

Für $\rho = 0$ ist $S = 0$, daher ist $C_1 = 0$. Desweiteren kann C_2 aus der Stetigkeit bei $\rho = R$ bestimmt werden:

$$\frac{\kappa E^2}{2} R^2 = C_2$$

Damit ist der Poyntingvektor:

$$\vec{S} = \begin{cases} -\frac{\kappa E^2 \rho}{2} \hat{\rho} & \text{für } \rho \leq R \\ -\frac{\kappa E^2 R^2}{2\rho} \hat{\rho} & \text{für } \rho > R \end{cases}$$

- (b) Zunächst bestimmen wir das H-Feld eines konstanten Stroms in einem Draht mit Radius R . Um das \vec{H} zu bestimmen nutzen wir

$$\nabla \times \vec{H} = \vec{J}.$$

Hier führen wir eine Integration über die Fläche in der (x, y) -Ebene aus. Dies lässt sich gemäß des Satzes von Stokes auf der linken Seite dann umformen in

$$\int_A dA \vec{\nabla} \times \vec{H} = \int d\vec{s} \cdot \vec{H} = \int d\varphi r H(\rho) = 2\pi r H(\rho)$$

Hierbei wurde $d\vec{s} = r d\varphi \hat{\varphi}$ gewählt. Betrachtet man die Poisson-Gleichung $\vec{\nabla}^2 \vec{A} = -\vec{J}$, so ist klar, dass das Vektorpotential entlang des Stromes orientiert sein muss. Andererseits kann es nur vom Abstand zur Achse abhängen, also ist $\vec{A} = A(\rho) \hat{z}$. Damit folgt, dass $\vec{H} = \vec{\nabla} \times \vec{A} = H(\rho) \hat{\varphi}$ gilt. Dies erklärt obigen Zusammenhang. Die rechte Seite ist wiederum innerhalb und außerhalb des Drahtes auszuwerten. Wir erhalten:

$$2\pi \rho H(\rho) = \begin{cases} \frac{I}{\pi R^2} \pi r^2 = I \frac{\rho^2}{R^2} & \text{für } \rho \leq R \\ I & \text{für } \rho > R \end{cases}$$

Somit ist das Magnetfeld gegeben durch:

$$H(r) = \frac{I}{2\pi} \begin{cases} \frac{\rho}{R^2} & \text{für } r \leq R \\ \frac{1}{\rho} & \text{für } r > R \end{cases}$$

Mit $\vec{J} = \kappa \vec{E} = \frac{I}{\pi R^2} \hat{z}$ gilt nun:

$$H(r) = \frac{\kappa E}{2} \begin{cases} \rho & \text{für } \rho \leq R \\ \frac{R^2}{\rho} & \text{für } r\rho > R \end{cases}$$

Somit ist der Poynting Vektor:

$$\vec{S}(\vec{\rho}) = \vec{E}(\vec{\rho}) \times \vec{H}(\vec{\rho}) = E(\vec{\rho}) \hat{z} \times H(\vec{\rho}) \hat{\varphi} = -\frac{\kappa E^2}{2} \hat{\rho} \begin{cases} \rho & \text{für } \rho \leq R \\ \frac{R^2}{\rho} & \text{für } \rho > R \end{cases}$$

Aufgabe 27: Induktivität eines abgeschirmten Leiters

5 P

Durch einen langen Draht mit Durchmesser $2b$ und Permeabilität μ fließt ein Strom I . Der Draht befindet sich in der Luft und ist von einer leitenden zylindrischen Hülle vom Radius $a > b$ umschlossen, durch die der Strom zurückfließt. Die Achsen von Draht und Hülle fallen zusammen.

- (a) Angenommen, die Stromdichte ist konstant über den Querschnitt des Drahtes. Wie lautet die Selbstinduktivität pro Längeneinheit des Stromkreises?

Hinweis:

Um die Selbstinduktivität zu bestimmen nutzen Sie die Formel $W = \frac{1}{2} L I^2$

- (b) Wie lautet die Selbstinduktivität pro Längeneinheit, wenn der Draht durch einen Hohlleiter vom Radius b ersetzt wird?

Lösung der Aufgabe 27

- (a) Mit einer konstanten Stromdichte im Leiter gilt:

$$\vec{J} = \frac{I}{\pi b^2} \hat{z} \Theta(b - \rho)$$

Nun müssen wir zwischen 3 Fällen unterscheiden, $\rho \leq b$, $b < \rho \leq a$ und $\rho > a$. Das Magnetfeld kann analog wie in Aufgabe 26 b) aus dem Amperschen Gesetz abgeleitet werden. Dabei müssen wir für den Fall $b < \rho \leq a$ bedenken, dass $\mu = \mu_0$ in der Luft ist. Für $a > \rho$ ist der umschlossene Gesamtstrom $I - I = 0$ und somit verschwindet der Term

$$\begin{aligned} \nabla \times \vec{H} &= \vec{J} = \nabla \times \frac{B}{\mu} \\ \stackrel{26b)}{\Rightarrow} B(\rho) &= \begin{cases} \frac{\mu I \rho}{2\pi b^2} \hat{\varphi} & \text{für } \rho \leq b \\ \frac{\mu_0 I}{2\pi \rho} \hat{\varphi} & \text{für } b < \rho \leq a \\ 0 & \text{für } \rho > a \end{cases} \end{aligned}$$

Nun bestimmen wir zunächst die Energie pro Länge:

$$\begin{aligned} W/l &= \frac{1}{2} \int_0^a d\rho \vec{B} \cdot \vec{H} 2\pi \rho \\ &= \frac{I^2 2\pi}{2(2\pi)^2} \left[\int_0^b d\rho \mu \frac{\rho^2}{b^4} \rho + \int_b^a d\rho \mu_0 \frac{\rho}{\rho^2} \right] \\ &= \frac{I^2}{4\pi} \left[\frac{\mu}{b^4} \int_0^b d\rho \rho^3 + \mu_0 \int_b^a d\rho \frac{1}{\rho} \right] \\ &= \frac{I^2}{4\pi} \left[\frac{\mu}{4} + \mu_0 \ln\left(\frac{a}{b}\right) \right] \end{aligned}$$

Damit gilt nun für die Induktivität:

$$L/l = 2W/(lI^2) = \frac{\mu_0}{2\pi} \left[\frac{\mu_r}{4} + \ln\left(\frac{a}{b}\right) \right]$$

- (b) Nun wird der innere Leiter mit einem Hohlleiter ersetzt, d.h. der Strom ist auf $\rho = b$ beschränkt. Damit gibt es kein \vec{B} -Feld innerhalb von $\rho \leq b$. Auf analoge Weise kann nun das B-Feld bestimmt werden:

$$B(\rho) = \begin{cases} 0 & \text{für } \rho \leq b \\ \frac{\mu_0 I}{2\pi \rho} \hat{\varphi} & \text{für } b < \rho \leq a \\ 0 & \text{für } \rho > a \end{cases}$$

Damit lässt sich nun analog zu oben, die Energie W und daraus die Selbstinduktion L bestimmen:

$$W/l = \frac{\mu_0 I^2}{4\pi} \ln\left(\frac{a}{b}\right)$$

$$L/l = \frac{\mu_0}{2\pi} \ln\left(\frac{a}{b}\right)$$

Aufgabe 28: Rotierende Christbaumkugel

10 P

Eine Christbaumkugel vom Radius R trage auf ihrer Oberfläche, homogen verteilt, die Gesamtladung Q . Sie rotiere mit der (konstanten) Winkelgeschwindigkeit $\vec{\omega} = \omega \hat{\omega}$ um ihren Durchmesser.

- Bestimmen Sie die Stromdichte $\vec{j}(\vec{r})$ und das magnetische Moment \vec{m} der Kugel für $\hat{\omega} \parallel \hat{z}$.
- Berechnen Sie das Vektorpotential $\vec{A}(\vec{r})$ und das Magnetfeld $\vec{B}(\vec{r})$ innerhalb und außerhalb der Kugel.

Hinweis:

Es vereinfacht die Integration, wenn Sie \vec{r} entlang der z -Achse ausrichten und die Richtung von $\hat{\omega}$ nicht festlegen.

Kontrollergesult:

$$\vec{A}(\vec{r}) = \frac{\mu_0 Q}{12\pi R} \frac{r_{\leq}^3}{r^3} \vec{\omega} \times \vec{r}$$

mit $r_{\leq} = \min(r, R)$.

- Angenommen, das Magnetfeld der Erde ließe sich so beschreiben. Seine horizontale Komponente hat in Karlsruhe die Stärke von etwa $20\mu\text{T}$. Bestimmen Sie daraus die Größe des magnetischen Moments und die im Erdmagnetfeld gespeicherte Energie

$$U_{\text{mag}} = \frac{1}{2\mu_0} \int d^3\vec{r} \vec{B}^2$$

(das Integral erstreckt sich nur über den Außenraum der Kugel). Vergleichen Sie mit der kinetischen Energie der täglichen Rotation der Erde. Zahlenwerte für den Vergleich: Geographische Breite von Karlsruhe $\beta = 49^\circ$; Radius der Erde $R \approx 6400 \text{ km}$; Masse der Erde $M \approx 6 \cdot 10^{24} \text{ kg}$.

Lösung der Aufgabe 28

- Die Stromdichte $j(\vec{r})$ kann aus der homogenen Ladungsdichte auf der Ober-

fläche bestimmt werden:

$$\begin{aligned}
\rho(\vec{r}) &= \frac{Q}{4\pi R^2} \delta(r - R) \\
\Rightarrow \int d^3\vec{r} \rho(\vec{r}) &= Q \\
\vec{j}(\vec{r}) &= \rho(\vec{r}) \vec{\omega} \times \vec{r} \\
&= \rho(\vec{r}) \omega r (\hat{z} \times \hat{r}) \\
&= \rho(\vec{r}) \omega r ((\cos(\Theta) \hat{r} - \sin(\Theta) \hat{\Theta}) \times \hat{r}) \\
&= \rho(\vec{r}) \omega r ((\cos(\Theta) \hat{r} - \sin(\Theta) \hat{\Theta}) \times \hat{r}) \\
&= \rho(\vec{r}) \omega r \sin(\Theta) \hat{\varphi} \\
&= \frac{Q \omega r \sin(\Theta)}{4\pi R^2} \delta(r - R) \hat{\varphi}
\end{aligned}$$

Das magnetische Moment ist damit :

$$\begin{aligned}
\vec{m} &= \frac{1}{2} \int d^3\vec{r} \vec{r} \times \vec{j}(\vec{r}) \\
&= \frac{1}{2} \int d^3\vec{r} \frac{Q \omega r^2 \sin(\Theta)}{4\pi R^2} \delta(r - R) \hat{r} \times \hat{\varphi} \\
&= -\frac{1}{2} \int d^3\vec{r} \frac{Q \omega r^2 \sin(\Theta)}{4\pi R^2} \delta(r - R) \hat{\Theta} \\
&= -\frac{Q \omega}{8\pi R^2} \int dr r^4 \delta(r - R) \int_0^\pi d\Theta \sin(\Theta) \int_0^{2\pi} d\varphi \hat{\Theta} \\
&= -\frac{Q \omega R^2}{8\pi} \int_0^\pi d\Theta \sin(\Theta) \int_0^{2\pi} d\varphi \begin{pmatrix} \cos(\Theta) \cos(\varphi) \\ \cos(\Theta) \sin(\varphi) \\ -\sin(\Theta) \end{pmatrix} \\
&= \frac{Q \omega R^2}{4} \int_0^\pi d\Theta \sin^2(\Theta) \hat{z} = \frac{Q \omega R^2}{4} \int_{-1}^1 d\cos(\Theta) (1 - \cos^2(\Theta)) \hat{z} \\
&= \frac{Q R^2}{4} \vec{\omega} \left(2 - \frac{2}{3} \right) = \frac{Q R^2}{3} \vec{\omega}
\end{aligned}$$

(b) Nun bestimmen wir das Vektorpotential:

$$\begin{aligned}
\vec{A}(\vec{r}) &= \frac{\mu_0}{4\pi} \int d^3\vec{r}' \frac{\vec{j}(\vec{r}')}{|\vec{r} - \vec{r}'|} \\
&= \frac{\mu_0}{4\pi} \int d^3\vec{r}' \frac{Q}{4\pi R^2} \delta(r' - R) \frac{\vec{\omega} \times \vec{r}'}{|\vec{r} - \vec{r}'|} \\
&= \frac{\mu_0 Q}{16\pi^2 R^2} \vec{\omega} \times \int d^3\vec{r}' \delta(r' - R) \frac{\vec{r}'}{|\vec{r} - \vec{r}'|} \\
&= \frac{\mu_0 Q}{16\pi^2 R^2} \vec{\omega} \times \int_{-1}^1 d\cos(\Theta') \int_0^{2\pi} d\varphi' \int dr' \delta(r' - R) \frac{r'^3}{\sqrt{r^2 + r'^2 - 2rr' \cos(\Theta')}} \hat{r}' \\
&= \frac{\mu_0 Q}{16\pi^2 R^2} \vec{\omega} \times \int_{-1}^1 d\cos(\Theta') \frac{R^3}{\sqrt{r^2 + R^2 - 2rR \cos(\Theta')}} \int_0^{2\pi} d\varphi' \begin{pmatrix} \sin(\Theta') \cos(\varphi') \\ \sin(\Theta') \sin(\varphi') \\ \cos(\Theta') \end{pmatrix} \\
&= \frac{\mu_0 Q}{8\pi R^2} \vec{\omega} \times \int_{-1}^1 d\cos(\Theta') \frac{\cos(\Theta') R^3}{\sqrt{r^2 + R^2 - 2rR \cos(\Theta')}} \underbrace{\hat{z}}_{\equiv \hat{r}} \\
&= \frac{\mu_0 Q R}{8\pi} \vec{\omega} \times \hat{r} \int_{-1}^1 dx \frac{x}{\sqrt{r^2 + R^2 - 2rR x}} \\
&\stackrel{P.I.}{=} \frac{\mu_0 Q R}{8\pi} \vec{\omega} \times \hat{r} \left(\left[\frac{2}{-2rR} x \sqrt{r^2 + R^2 - 2rR x} \right]_{-1}^1 - \int_{-1}^1 dx \frac{2}{-2rR} \sqrt{r^2 + R^2 - 2rR x} \right) \\
&= \frac{\mu_0 Q R}{8\pi} \vec{\omega} \times \hat{r} \left[\frac{-1}{rR} x \sqrt{r^2 + R^2 - 2rR x} - \frac{1}{3r^2 R^2} \sqrt{r^2 + R^2 - 2rR x}^3 \right]_{-1}^1 \\
&= -\frac{\mu_0 Q}{8\pi r} \vec{\omega} \times \hat{r} \left[\sqrt{r^2 + R^2 - 2rR x} \left(x + \frac{r^2 + R^2 - 2rR x}{3rR} \right) \right]_{-1}^1 \\
&= -\frac{\mu_0 Q}{8\pi r} \vec{\omega} \times \hat{r} \left[\sqrt{r^2 + R^2 - 2rR} \left(1 + \frac{r^2 + R^2 - 2rR}{3rR} \right) \right. \\
&\quad \left. - \sqrt{r^2 + R^2 + 2rR} \left(-1 + \frac{r^2 + R^2 + 2rR}{3rR} \right) \right] \\
&= -\frac{\mu_0 Q}{8\pi r} \vec{\omega} \times \hat{r} \left[|r - R| \frac{r^2 + R^2 + rR}{3rR} - |r + R| \frac{r^2 + R^2 - rR}{3rR} \right] \\
&= -\frac{\mu_0 Q}{24\pi r^2 R} \vec{\omega} \times \hat{r} [(r^2 + R^2)(|r - R| - |r + R|) + rR(|r - R| + |r + R|)] \\
&= -\frac{\mu_0 Q}{24\pi r^2 R} \vec{\omega} \times \hat{r} \begin{cases} (r^2 + R^2)(-2r) + rR(2R) & \text{für } r \leq R \\ (r^2 + R^2)(-2R) + rR(2r) & \text{für } r > R \end{cases} \\
&= \frac{\mu_0 Q}{12\pi r^2 R} \vec{\omega} \times \hat{r} \begin{cases} r^3 & \text{für } r \leq R \\ R^3 & \text{für } r > R \end{cases} \\
&= \frac{\mu_0 Q}{12\pi R} \vec{\omega} \times \vec{r} \begin{cases} 1 & \text{für } r \leq R \\ \frac{R^3}{r^3} & \text{für } r > R \end{cases}
\end{aligned}$$

Mit $r_{<} = \min(r, R)$ lässt sich das Potential schreiben als

$$\vec{A}(\vec{r}) = \frac{\mu_0 Q}{12\pi R} \frac{r_{\leq}^3}{r^3} \vec{\omega} \times \vec{r}$$

Zunächst betrachten wir $r \leq R$ um das B-Feld zu bestimmen:

$$\begin{aligned} \vec{A}(\vec{r}) &= \underbrace{\frac{\mu_0 Q}{12\pi R}}_{\vec{\Omega}} \vec{\omega} \times \vec{r} \\ \vec{B}(\vec{r}) &= \nabla \times \vec{A}(\vec{r}) = \nabla \times (\vec{\Omega} \times \vec{r}) \\ &\stackrel{bac-cab}{=} \vec{\Omega} \cdot (\nabla \cdot \vec{r}) - \vec{r} \cdot (\nabla \cdot \vec{\Omega}) = \vec{\Omega} \cdot (\nabla \cdot \vec{r}) - (\vec{\Omega} \cdot \nabla) \cdot \vec{r} \\ &= \vec{\Omega} \cdot 3 - \Omega_i \frac{\partial}{\partial x_i} \vec{r} = (3 - 1)\vec{\Omega} = 2\vec{\Omega} \\ &= \frac{\mu_0 Q}{6\pi R} \vec{\omega} \end{aligned}$$

Nun bestimmen wir das B-Feld für $r > R$:

$$\begin{aligned} \vec{A}(\vec{r}) &= \frac{\mu_0}{4\pi} \frac{QR^2}{3} \vec{\omega} \times \vec{r} \frac{1}{r^3} \\ &\stackrel{a)}{=} \frac{\mu_0}{4\pi} \frac{\vec{m} \times \vec{r}}{r^3} \\ \vec{B}(\vec{r}) &= \nabla \times \vec{A}(\vec{r}) = \frac{\mu_0}{4\pi} \nabla \times \left(\vec{m} \times \frac{\vec{r}}{r^3} \right) \\ &\stackrel{bac-cab}{=} \frac{\mu_0}{4\pi} \left[\vec{m} \cdot \left(\nabla \cdot \frac{\vec{r}}{r^3} \right) - \frac{\vec{r}}{r^3} \cdot (\nabla \cdot \vec{m}) \right] \\ &= \frac{\mu_0}{4\pi} \left[\vec{m} \cdot \left(\frac{\nabla \cdot \vec{r}}{r^3} + \vec{r} \cdot \nabla \frac{1}{r^3} \right) - m_i \frac{\partial}{\partial x_i} \frac{x_j}{r^3} \hat{x}_j \right] \\ &\stackrel{\text{Aufg. 1}}{=} \frac{\mu_0}{4\pi} \left[\vec{m} \cdot \left(\frac{3}{r^3} - 3\vec{r} \cdot \frac{\vec{r}}{r^5} \right) - m_i \frac{\delta_{ij} r^3 - 3x_j x_i r^2}{r^6} \hat{x}_j \right] \\ &= \frac{\mu_0}{4\pi} \left[-\frac{\vec{m}}{r^3} + 3 \frac{(\vec{m} \cdot \vec{r}) \vec{r}}{r^5} \right] \end{aligned}$$

Dies entspricht gerade einem Dipolfeld.

- (c) Wir wählen nun wieder $\vec{\omega}$ in z-Richtung ($\vec{m} \rightarrow m\hat{z}$). Damit wird das B-Feld zu

$$\begin{aligned} \vec{B}(\vec{r}) &= \frac{\mu_0 m}{4\pi r^3} [-\hat{z} + 3(\hat{z} \cdot \hat{r})\hat{r}] \\ &= \frac{\mu_0 m}{4\pi r^3} [-(\cos(\Theta)\hat{r} - \sin(\Theta)\hat{\Theta}) + 3((\cos(\Theta)\hat{r} - \sin(\Theta)\hat{\Theta}) \cdot \hat{r})\hat{r}] \\ &= \frac{\mu_0 m}{4\pi r^3} [2\cos(\Theta)\hat{r} + \sin(\Theta)\hat{\Theta}] \end{aligned}$$

Die Feldenergie kann damit bestimmt werden zu:

$$\begin{aligned}
U_{\text{mag}} &= \frac{1}{2\mu_0} \int d^3\vec{r} \vec{B}^2 \\
&= \frac{1}{2\mu_0} \int d^3\vec{r} \frac{\mu_0^2 m^2}{(4\pi r^3)^2} \left[2 \cos(\Theta) \hat{r} + \sin(\Theta) \hat{\Theta} \right]^2 \\
&= \frac{\mu_0 m^2}{32\pi^2} \int d^3\vec{r} \frac{1}{r^6} [4 \cos^2(\Theta) + \sin^2(\Theta)] \\
&= \frac{\mu_0 m^2}{32\pi^2} \int d^3\vec{r} \frac{1}{r^6} [3 \cos^2(\Theta) + 1] \\
&= \frac{\mu_0 m^2}{32\pi^2} \int_{-1}^1 d \cos(\Theta) \int_0^{2\pi} d\varphi \int_R^\infty dr \frac{1}{r^4} [3 \cos^2(\Theta) + 1] \\
&= \frac{\mu_0 m^2}{16 \cdot 3\pi R^3} \int_{-1}^1 d \cos(\Theta) [3 \cos^2(\Theta) + 1] \\
&= \frac{\mu_0 m^2}{16 \cdot 3\pi R^3} \int_{-1}^1 d \cos(\Theta) [\cos^3(\Theta) + \cos(\Theta)]_{-1}^1 \\
&= \frac{\mu_0 m^2}{12\pi R^3}
\end{aligned}$$

Nun bestimmen wir das magnetische Moment mit Hilfe der Horizontalkomponente des magnetischen Feldes in Karlsruhe. Die horizontale Komponente des Magnetfeldes ist durch die Komponente in $\hat{\Theta}$ -Richtung B_Θ gegeben. Desweiteren ist die geographische Breite gegeben durch $\beta = \frac{\pi}{2} - \Theta$. Auf der Erdoberfläche mit Radius R_E gilt daher für das magnetische Moment:

$$\begin{aligned}
B_{\Theta, \text{KA}} &= \frac{\mu_0 m}{4\pi R_E^3} \sin(\Theta) = \frac{\mu_0 m}{4\pi R_E^3} \sin\left(\frac{\pi}{2} - \beta\right) \\
&= \frac{\mu_0 m}{4\pi R_E^3} \cos(\beta) \\
\Rightarrow m &= \frac{4\pi R_E^3}{\mu_0 \cos(\beta)} B_{\Theta, \text{KA}}
\end{aligned}$$

Somit ist die Energie der Erde gegeben durch

$$\begin{aligned}
U_{\text{mag}} &= \frac{\mu_0}{12\pi R_E^3} \frac{4^2 \pi^2 R_E^6}{\mu_0^2 \cos^2(\beta)} B_{\Theta, \text{KA}}^2 \\
&= \frac{4\pi R_E^3}{3\mu_0 \cos^2(\beta)} B_{\Theta, \text{KA}}^2
\end{aligned}$$

Die mechanische Rotationsenergie einer Erde (Kugel) ist gegeben durch:

$$\begin{aligned}
U_{\text{mech}} &= \frac{1}{2} J_{\text{Erde}} \omega^2 \\
&= \frac{1}{2} \frac{2}{5} M R_E^2 \left(\frac{2\pi}{\text{day}} \right)^2 \\
&= \frac{4\pi^2}{5} M R_E^2 \frac{1}{(86400\text{s})^2}
\end{aligned}$$

Einsetzen der Einheiten:

$$B_{\Theta,KA} = 20\mu\text{T} = 20 \cdot 10^{-6} \frac{\text{kg}}{\text{As}^2}$$

$$\beta = 49^\circ$$

$$\frac{4\pi}{\mu_0} = 10^7 \frac{\text{A}^2\text{s}^2}{\text{kg m}}$$

$$R_E = 6.4 \cdot 10^6 \text{m}$$

$$M = 6 \cdot 10^{24} \text{kg}$$

$$\Rightarrow U_{\text{mech}} \approx 2.60 \cdot 10^{29} \text{J}$$

$$\Rightarrow U_{\text{mag}} \approx 8.12 \cdot 10^{17} \text{J}$$

$$\Rightarrow U_{\text{mag}}/U_{\text{mech}} \approx 3.12 \cdot 10^{-12}$$

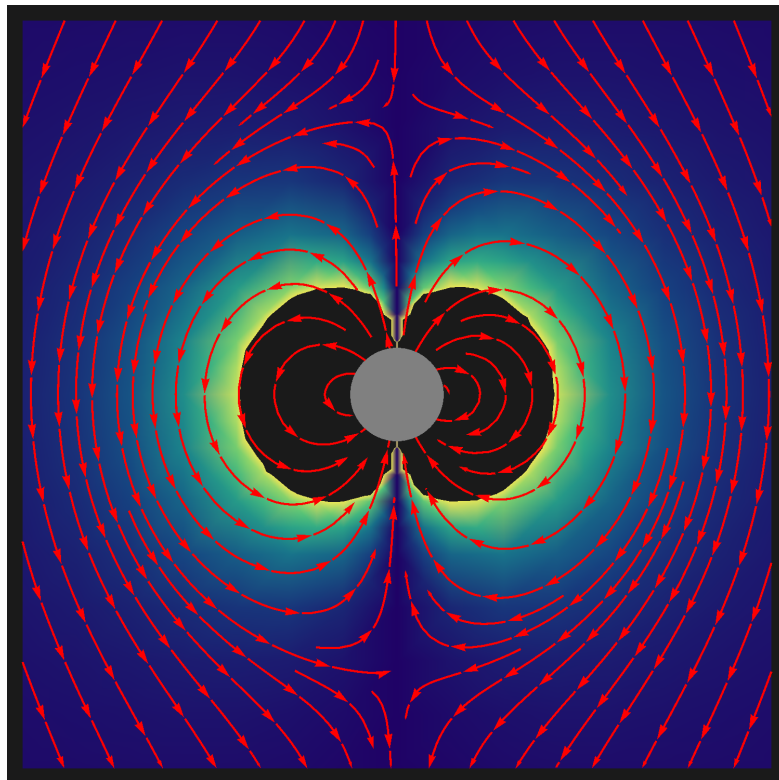


Abbildung 15: Außenfeld: x-z-Ansicht des Absolutwerts des Vektorpotentials und des Magnetfelds der rotierenden Kugel. Vielen Dank an Marcel Krause.

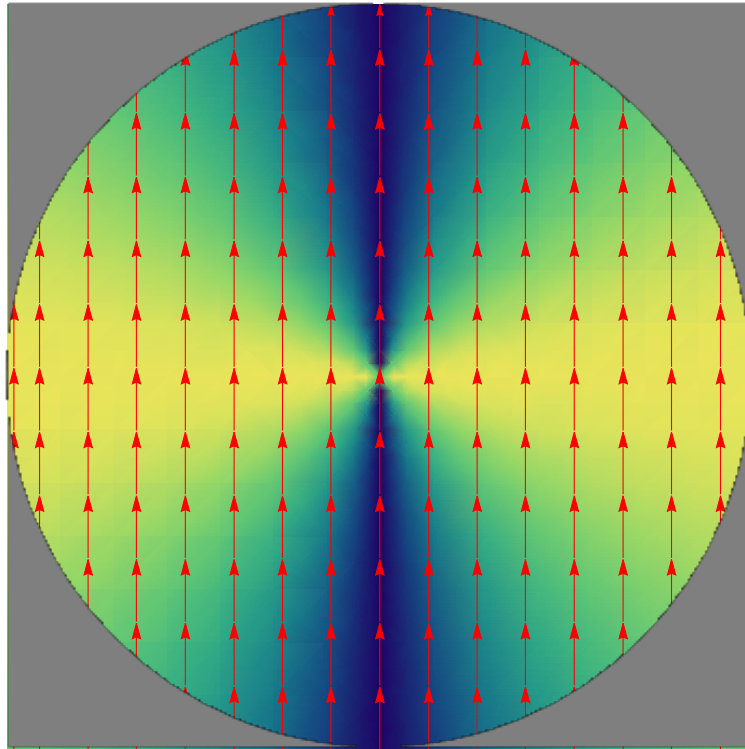


Abbildung 16: Innenfeld: x-z-Ansicht des Absolutwerts des Vektorpotentials und des Magnetfelds der rotierenden Kugel. Vielen Dank an Marcel Krause.